
































































Christine Greif
<http://www.usm.uni-muenchen.de/~koepferl>
 This work is licensed under CC-BY-SA 4.0
 Data: NPGEO-DE; VZ = Verdopplungszeit

-  Fit am 10.03; VZ: 12.30 d
 Fit am 11.03; VZ: 9.33 d
 Fit am 12.03; VZ: 3.08 d
 Fit am 13.03; VZ: 2.59 d
 Fit am 14.03; VZ: 2.82 d
 Fit am 15.03; VZ: 3.19 d
 Fit am 16.03; VZ: 3.41 d
 Fit am 17.03; VZ: 4.04 d
 Fit am 18.03; VZ: 4.76 d
 Fit am 19.03; VZ: 5.50 d
 Fit am 20.03; VZ: 5.09 d
 Fit am 21.03; VZ: 4.80 d
 Fit am 22.03; VZ: 4.46 d
 Fit am 23.03; VZ: 4.56 d
 Fit am 24.03; VZ: 4.65 d
 Fit am 25.03; VZ: 4.69 d
 Fit am 26.03; VZ: 4.87 d
 Fit am 27.03; VZ: 5.18 d
 Fit am 28.03; VZ: 5.48 d
 Fit am 29.03; VZ: 6.18 d
 Fit am 30.03; VZ: 7.27 d
 Fit am 31.03; VZ: 9.01 d
 Fit am 01.04; VZ: 10.44 d
 Fit am 02.04; VZ: 10.60 d
 Fit am 03.04; VZ: 10.53 d
 Fit am 04.04; VZ: 11.37 d
 Fit am 05.04; VZ: 12.94 d
 Fit am 06.04; VZ: 16.25 d
 Fit am 07.04; VZ: 21.25 d
 Fit am 08.04; VZ: 26.79 d
 Fit am 09.04; VZ: 30.21 d
 Fit am 10.04; VZ: 31.53 d
 Fit am 11.04; VZ: 31.01 d
 Fit am 12.04; VZ: 31.96 d
 Fit am 14.04; VZ: 38.96 d
 Fit am 15.04; VZ: 44.58 d
 Fit am 16.04; VZ: 51.73 d
 Fit am 17.04; VZ: 62.03 d
 Fit am 18.04; VZ: 62.60 d
 Fit am 19.04; VZ: 66.49 d
 Fit am 20.04; VZ: 72.87 d
 Fit am 21.04; VZ: 90.97 d
 Fit am 22.04; VZ: 117.66 d
 Fit am 24.04; VZ: 139.60 d
 Fit am 25.04; VZ: 156.10 d
 Fit am 28.04; VZ: 184.59 d
 Fit am 29.04; VZ: 194.92 d
 Fit am 30.04; VZ: 205.08 d
 Fit am 02.05; VZ: 240.86 d
 Fit am 05.05; VZ: 299.18 d
 Fit am 07.05; VZ: 371.74 d
 Fit am 12.05; VZ: 493.32 d
 Fit am 13.05; VZ: 508.50 d
 Fit am 14.05; VZ: 546.41 d
 Fit am 15.05; VZ: 561.47 d
 Fit am 16.05; VZ: 587.12 d
 Fit am 20.05; VZ: 609.77 d
 Fit am 23.05; VZ: 575.66 d
 Fit am 25.05; VZ: 412.95 d
 Fit am 26.05; VZ: 384.35 d
 Fit am 28.05; VZ: 338.22 d
 Fit am 29.05; VZ: 300.54 d
 Fit am 30.05; VZ: 225.05 d